

STAPpp 程序 T3 三角形单元扩展实验报告

清华大学行健书院
有限元法基础课程大作业

姓名：吴致远 学号：2022013266 班级：行健-力 2

2025 年 6 月 12 日

目录

1	实验概述	3
1.1	实验目的	3
1.2	实验意义与应用价值	3
2	理论基础	3
2.1	T3 单元几何描述与坐标系统	3
2.2	形函数推导与面积坐标	4
2.3	应变-位移关系与应变矩阵	4
2.4	本构关系与弹性矩阵	5
2.5	单元刚度矩阵推导	5
3	程序设计与实现	5
3.1	STAPpp 程序架构分析	5
3.2	T3 单元类设计与实现	7
3.3	核心算法实现	7
3.3.1	形函数系数计算算法	7
3.3.2	单元刚度矩阵计算算法	8
3.3.3	应力计算算法	10
3.4	运行方式说明	11
4	算例设计与验证策略	12
4.1	验证方法论	12
4.2	分片试验设计	12
4.3	收敛性分析设计	14
4.4	算例验证：例 4-4 梯形结构	14

5	实验结果与分析	15
5.1	分片试验结果	15
5.2	收敛性分析结果	16
5.3	算例验证结果	16
5.3.1	位移场分析	16
5.3.2	应力场分析	17
5.4	综合验证结果评估	18
6	参考文献	19
7	附录	19

1 实验概述

1.1 实验目的

本实验旨在扩展 STAPpp 有限元程序功能，新增 T3 三角形单元类型，通过理论推导、程序实现和数值验证的完整过程，达到以下目标：

1. 深入理解 T3 三角形单元的理论基础和数学推导过程
2. 基于面向对象编程思想，在 STAPpp 框架下实现完整的 T3 单元类
3. 设计并实施包括分片试验、收敛性分析和工程验证在内的完整验证体系
4. 通过数值实验验证 T3 单元实现的正确性和可靠性
5. 掌握有限元程序设计的基本方法、调试技巧和验证策略

1.2 实验意义与应用价值

T3 三角形单元作为平面有限元分析中最基础的单元类型之一，具有重要的理论价值和工程应用意义：

- **几何适应性强**：能够处理任意复杂的几何边界，适用于不规则区域的离散化
- **理论基础完备**：应变为常数，便于理论分析和数学推导
- **编程实现简单**：单元刚度矩阵可解析求解，无需数值积分
- **工程应用广泛**：在商业软件如 ANSYS、ABAQUS 中得到广泛应用
- **扩展性良好**：为高阶单元和多物理场耦合分析奠定基础

通过 T3 单元的完整实现过程，可以深入理解有限元法的核心概念、程序设计方法和数值验证策略，为后续研究和工程应用打下坚实基础。

2 理论基础

2.1 T3 单元几何描述与坐标系统

T3 单元是具有 3 个节点的三角形单元，每个节点具有 2 个平移自由度 (u_x 和 u_y)。单元在全局坐标系 (x, y) 中的几何形状由 3 个节点坐标 (x_i, y_i) ($i = 1, 2, 3$) 唯一确定。

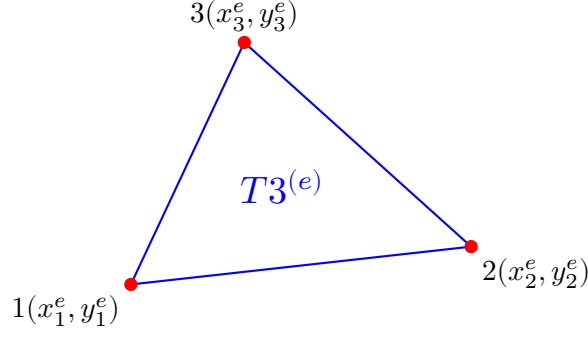


图 1: T3 三角形单元节点编号与坐标系统

2.2 形函数推导与面积坐标

T3 单元的形函数基于面积坐标理论，具有明确的几何意义。形函数的数学表达为：

$$N_i = \frac{1}{2A}(a_i + b_i x + c_i y), \quad i = 1, 2, 3 \quad (1)$$

其中， A 为三角形面积，通过行列式计算：

$$A = \frac{1}{2} \begin{vmatrix} 1 & x_1 & y_1 \\ 1 & x_2 & y_2 \\ 1 & x_3 & y_3 \end{vmatrix} \quad (2)$$

形函数系数 a_i 、 b_i 、 c_i 的计算公式为：

$$a_1 = x_2 y_3 - x_3 y_2, \quad b_1 = y_2 - y_3, \quad c_1 = x_3 - x_2 \quad (3)$$

$$a_2 = x_3 y_1 - x_1 y_3, \quad b_2 = y_3 - y_1, \quad c_2 = x_1 - x_3 \quad (4)$$

$$a_3 = x_1 y_2 - x_2 y_1, \quad b_3 = y_1 - y_2, \quad c_3 = x_2 - x_1 \quad (5)$$

形函数具有重要的数学性质：

- 配分性质： $\sum_{i=1}^3 N_i = 1$
- 插值性质： $N_i(x_j, y_j) = \delta_{ij}$
- 线性完备性：能够精确表示线性位移场

2.3 应变-位移关系与应变矩阵

单元内任意点的位移场通过形函数插值表示：

$$\begin{bmatrix} u_x \\ u_y \end{bmatrix} = \sum_{i=1}^3 N_i \begin{bmatrix} u_{xi} \\ u_{yi} \end{bmatrix} \quad (6)$$

基于小变形假设，应变分量定义为：

$$\varepsilon_x = \frac{\partial u_x}{\partial x}, \quad \varepsilon_y = \frac{\partial u_y}{\partial y}, \quad \gamma_{xy} = \frac{\partial u_x}{\partial y} + \frac{\partial u_y}{\partial x} \quad (7)$$

应变矩阵 \mathbf{B} 为：

$$\mathbf{B} = \frac{1}{2A} \begin{bmatrix} b_1 & 0 & b_2 & 0 & b_3 & 0 \\ 0 & c_1 & 0 & c_2 & 0 & c_3 \\ c_1 & b_1 & c_2 & b_2 & c_3 & b_3 \end{bmatrix} \quad (8)$$

2.4 本构关系与弹性矩阵

对于平面应力问题，应力-应变关系由广义胡克定律描述：

$$\begin{bmatrix} \sigma_x \\ \sigma_y \\ \tau_{xy} \end{bmatrix} = \mathbf{D} \begin{bmatrix} \varepsilon_x \\ \varepsilon_y \\ \gamma_{xy} \end{bmatrix} \quad (9)$$

弹性矩阵 \mathbf{D} 为：

$$\mathbf{D} = \frac{E}{1-\nu^2} \begin{bmatrix} 1 & \nu & 0 \\ \nu & 1 & 0 \\ 0 & 0 & \frac{1-\nu}{2} \end{bmatrix} \quad (10)$$

2.5 单元刚度矩阵推导

根据虚功原理，单元刚度矩阵通过以下积分计算：

$$\mathbf{K}^e = \int_{\Omega^e} \mathbf{B}^T \mathbf{D} \mathbf{B} d\Omega \quad (11)$$

由于 T3 单元的应变矩阵 \mathbf{B} 在单元内为常数，积分可以解析计算：

$$\mathbf{K}^e = t \cdot A \cdot \mathbf{B}^T \mathbf{D} \mathbf{B} \quad (12)$$

其中 t 为单元厚度， A 为单元面积。

3 程序设计与实现

3.1 STAPpp 程序架构分析

STAPpp 采用面向对象的 C++ 设计模式，具有良好的模块化结构和扩展性。主要类层次结构如图2所示。

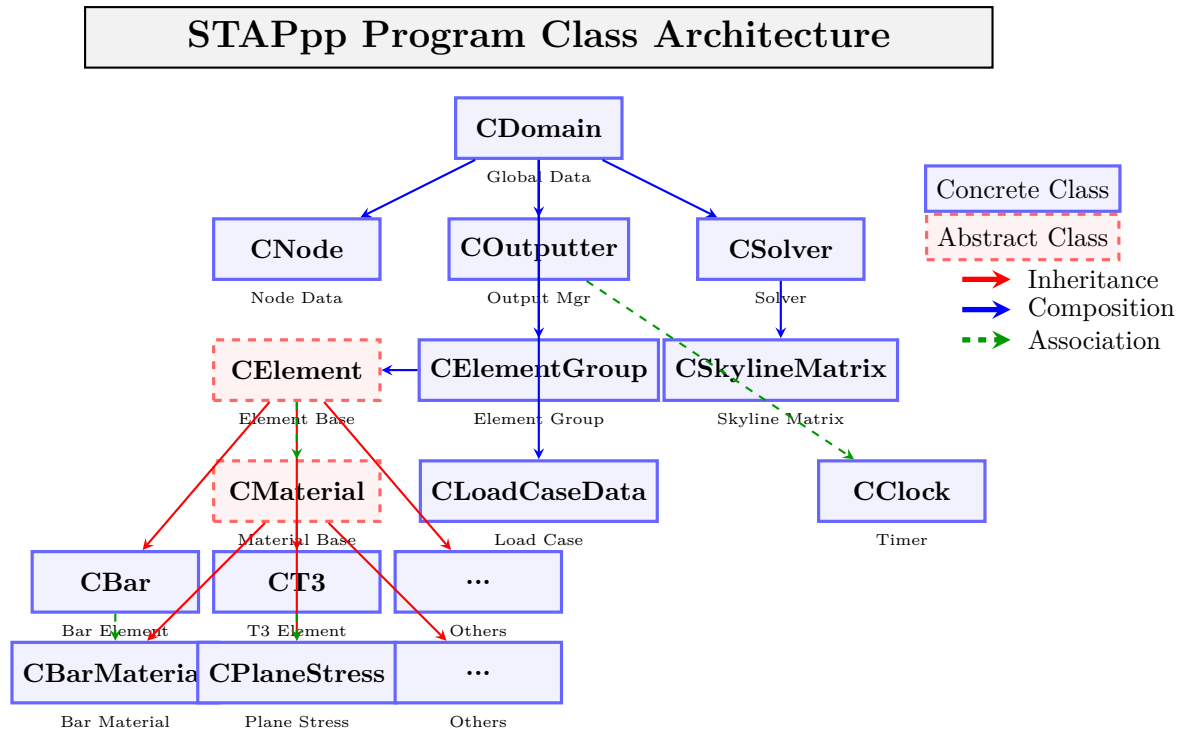


图 2: STAPpp 程序主要类结构图

STAPpp 采用面向对象的 C++ 设计模式，具有良好的模块化结构和扩展性。主要类层次结构如图2所示。

核心类的功能说明：

- **CDomain**：封装有限元模型的全局数据管理
- **CNode**：封装节点坐标和边界条件信息
- **CElement**：单元基类，定义单元通用接口
- **CMaterial**：材料属性基类，支持多种材料模型
- **CSkylineMatrix**：一维变带宽矩阵存储和操作
- **CElementGroup**：单元组管理，支持多种单元类型
- **CLoadCaseData**：载荷工况数据管理
- **CSolver**：线性方程组求解器
- **COutputter**：结果输出管理

3.2 T3 单元类设计与实现

T3 单元类 CT3 继承自 CElement 基类，实现了 T3 单元的所有核心功能：

```
1 class CT3 : public CElement
2 {
3 private:
4     double area;                // 单元面积
5     double a[3], b[3], c[3];    // 形函数系数
6     double B[3][6];            // 应变矩阵
7
8 public:
9     CT3();                      // 构造函数
10    virtual ~CT3();             // 析构函数
11
12    virtual bool Read(ifstream& Input, unsigned int Ele,
13                      CMaterial* MaterialSets, CNode* NodeList);
14    virtual void ElementStiffness(double* Matrix);
15    virtual void ElementStress(double* stress, double* Displacement);
16
17 private:
18    void CalculateShapeFuncCoef(); // 计算形函数系数
19    double CalculateArea();        // 计算单元面积
20    bool CheckElementValidity();   // 检查单元有效性
21 };
```

Listing 1: T3 单元类声明

3.3 核心算法实现

3.3.1 形函数系数计算算法

形函数系数的计算是 T3 单元实现的基础，涉及节点顺序的检查和面积的计算：

```
1 void CT3::CalculateShapeFuncCoef()
2 {
3     // 获取三个节点坐标
4     double x1 = nodes_[0]->XYZ[0], y1 = nodes_[0]->XYZ[1];
5     double x2 = nodes_[1]->XYZ[0], y2 = nodes_[1]->XYZ[1];
6     double x3 = nodes_[2]->XYZ[0], y3 = nodes_[2]->XYZ[1];
7
8     // 计算行列式（面积的2倍）
```

```

9      double det = (x2 - x1) * (y3 - y1) - (x3 - x1) * (y2 - y1);
10
11     // 确保节点为逆时针顺序
12     if (det < 0) {
13         // 交换节点2和节点3
14         CNode* temp = nodes_[1];
15         nodes_[1] = nodes_[2];
16         nodes_[2] = temp;
17
18         // 重新获取坐标
19         x2 = nodes_[1]->XYZ[0]; y2 = nodes_[1]->XYZ[1];
20         x3 = nodes_[2]->XYZ[0]; y3 = nodes_[2]->XYZ[1];
21         det = -det;
22     }
23
24     area = det / 2.0;
25
26     // 计算形函数系数
27     a[0] = x2 * y3 - x3 * y2;
28     a[1] = x3 * y1 - x1 * y3;
29     a[2] = x1 * y2 - x2 * y1;
30
31     b[0] = y2 - y3; b[1] = y3 - y1; b[2] = y1 - y2;
32     c[0] = x3 - x2; c[1] = x1 - x3; c[2] = x2 - x1;
33 }

```

Listing 2: 形函数系数计算实现

3.3.2 单元刚度矩阵计算算法

单元刚度矩阵的计算采用解析方法，避免数值积分的误差：

```

1 void CT3::ElementStiffness(double* Matrix)
2 {
3     // 清零刚度矩阵
4     for (unsigned int i = 0; i < SizeOfStiffnessMatrix(); i++)
5         Matrix[i] = 0.0;
6
7     // 获取材料属性
8     CPlaneStressMaterial* material =
9         dynamic_cast<CPlaneStressMaterial*>(ElementMaterial_);

```



```

10
11 double E = material->E;    // 弹性模量
12 double nu = material->nu;  // 泊松比ν
13 double t = material->t;    // 厚度
14
15 // 构建弹性矩阵D
16 double factor = E / (1.0 - nu * nu);
17 double D[3][3] = {
18     {factor,          factor * nu,  0.0},
19     {factor * nu,     factor,        0.0},
20     {0.0,             0.0,          factor * (1.0 - nu) / 2.0}
21 };
22
23 // 构建应变矩阵B
24 double inv_2A = 1.0 / (2.0 * area);
25 for (unsigned int i = 0; i < 3; i++) {
26     B[0][2*i]   = b[i] * inv_2A;    //  $\partial N_i / \partial x$ 
27     B[0][2*i+1] = 0.0;
28     B[1][2*i]   = 0.0;
29     B[1][2*i+1] = c[i] * inv_2A;    //  $\partial N_i / \partial y$ 
30     B[2][2*i]   = c[i] * inv_2A;    //  $\partial N_i / \partial y$ 
31     B[2][2*i+1] = b[i] * inv_2A;    //  $\partial N_i / \partial x$ 
32 }
33
34 // 计算K = t * A * B^T * D * B
35 // 先计算BTD = B^T * D
36 double BTD[6][3];
37 for (int i = 0; i < 6; i++) {
38     for (int j = 0; j < 3; j++) {
39         BTD[i][j] = 0.0;
40         for (int k = 0; k < 3; k++) {
41             BTD[i][j] += B[k][i] * D[k][j];
42         }
43     }
44 }
45
46 // 计算最终刚度矩阵K = BTD * B, 按上三角存储
47 double scale = t * area;
48 for (unsigned int j = 0; j < 6; j++) {
49     for (unsigned int i = 0; i <= j; i++) {

```

```

50         double sum = 0.0;
51         for (unsigned int k = 0; k < 3; k++) {
52             sum += BTD[i][k] * B[k][j];
53         }
54         Matrix[i * 6 + j] = sum * scale;
55     }
56 }
57 }

```

Listing 3: 单元刚度矩阵计算实现

3.3.3 应力计算算法

应力计算基于已知的节点位移，通过应变-位移关系和本构关系求得：

```

1 void CT3::ElementStress(double* stress, double* Displacement)
2 {
3     // 获取材料属性
4     CPlaneStressMaterial* material =
5         dynamic_cast<CPlaneStressMaterial*>(ElementMaterial_);
6
7     double E = material->E;    // 弹性模量
8     double nu = material->nu;  // 泊松比ν
9
10    // 构建弹性矩阵
11    double factor = E / (1.0 - nu * nu);
12    double D[3][3] = {
13        {factor,          factor * nu,  0.0},
14        {factor * nu,    factor,        0.0},
15        {0.0,            0.0,          factor * (1.0 - nu) / 2.0}
16    };
17
18    // 提取单元节点位移向量
19    double d[6] = {0.0};
20    for (unsigned int i = 0; i < 6; i++) {
21        if (LocationMatrix_[i] > 0) {
22            unsigned int disp_index = LocationMatrix_[i] - 1;
23            d[i] = Displacement[disp_index];
24        }
25    }
26 }

```

```

27 // 计算应变:  $\epsilon = B * d$ 
28 double strain[3] = {0.0, 0.0, 0.0};
29 for (unsigned int i = 0; i < 3; i++) {
30     for (unsigned int j = 0; j < 6; j++) {
31         strain[i] += B[i][j] * d[j];
32     }
33 }
34
35 // 计算应力:  $\sigma = D * \epsilon$ 
36 for (int i = 0; i < 3; i++) {
37     stress[i] = 0.0;
38     for (int j = 0; j < 3; j++) {
39         stress[i] += D[i][j] * strain[j];
40     }
41 }
42 }

```

Listing 4: 单元应力计算实现

3.4 运行方式说明

本实验开发的 T3 单元扩展程序采用标准的 STAPpp 工作流程，具体运行步骤如下：

1. **输入文件准备：**按照 STAPpp 标准格式设计 .dat 输入文件，包含节点坐标、边界条件、载荷信息和单元连接关系。T3 单元类型标识符为 3，材料类型为平面应力材料。
2. **有限元求解：**使用扩展后的 STAPpp 程序执行计算：

```

1 ./STAPpp input_file.dat
2

```

程序将自动读取输入文件，进行有限元分析计算，并生成包含完整求解信息的 .out 输出文件。

3. **结果数据提取：**使用开发的 get.py 脚本解析输出文件，提取节点位移和单元应力等关键结果：

```

1 python3 get.py input_file.out
2

```

脚本将生成结构化的 JSON 数据文件和文本摘要报告，便于后续处理和分析。

4. **结果可视化**: 使用 `visualize_results.py` 脚本生成专业的工程图表:

```
1 python3 visualize_results.py input_file.out
2
```

脚本将自动生成包含原始网格、变形对比、位移云图、应力分布等多种可视化结果的 PNG 和 PDF 格式图片文件。

整个工作流程实现了从问题定义、数值求解到结果可视化的完整自动化处理, 为 T3 单元的验证和工程应用提供了便捷高效的计算平台。

4 算例设计与验证策略

4.1 验证方法论

按照要求, 为确保 T3 单元实现的正确性和可靠性, 本实验采用了系统性的三层验证策略:

1. **分片试验 (Patch Test)**: 通过常应变拉伸试验验证单元能否精确表示常应变状态
2. **收敛性分析 (Convergence Study)**: 通过网格加密验证解的收敛性
3. **算例验证 (Benchmark Problems)**: 与理论解结果对比

4.2 分片试验设计

采用 5 节点 4 单元配置验证 T3 单元的常应力精确性。分片试验采用不规则四边形区域, 通过内部节点 5 将其划分为 4 个 T3 单元, 节点坐标分别为: 节点 1(0.0, 0.0) 完全固定、节点 2(2.5, 0.0) 仅 Y 方向固定、节点 3(2.5, 3.0) 自由、节点 4(0.0, 2.0) 自由、节点 5(1.0, 1.6) 内部节点自由。四个 T3 单元围绕内部节点 5 分布: 单元 1(节点 1-2-5)、单元 2(节点 2-3-5)、单元 3(节点 3-4-5)、单元 4(节点 4-1-5)。

为确保分片试验的有效性, 在 X 方向施加平衡载荷系统: 节点 1 施加 $F_x = -10\text{N}$ 、节点 2 施加 $F_x = +15\text{N}$ 、节点 3 施加 $F_x = +10\text{N}$ 、节点 4 施加 $F_x = -15\text{N}$, 载荷平衡检验 $\sum F_x = -10 + 15 + 10 - 15 = 0\text{N}$ 。采用线弹性材料参数: 弹性模量 $E = 1000\text{Pa}$, 泊松比 $\nu = 0.3$, 厚度 $t = 1.0\text{m}$ 。根据分片试验理论, 如果 T3 单元实现正确, 所有单元应产生相同的常应力状态: $\sigma_{xx} = 10.0\text{Pa}$, $\sigma_{yy} \approx 0$, $\tau_{xy} \approx 0$ 。

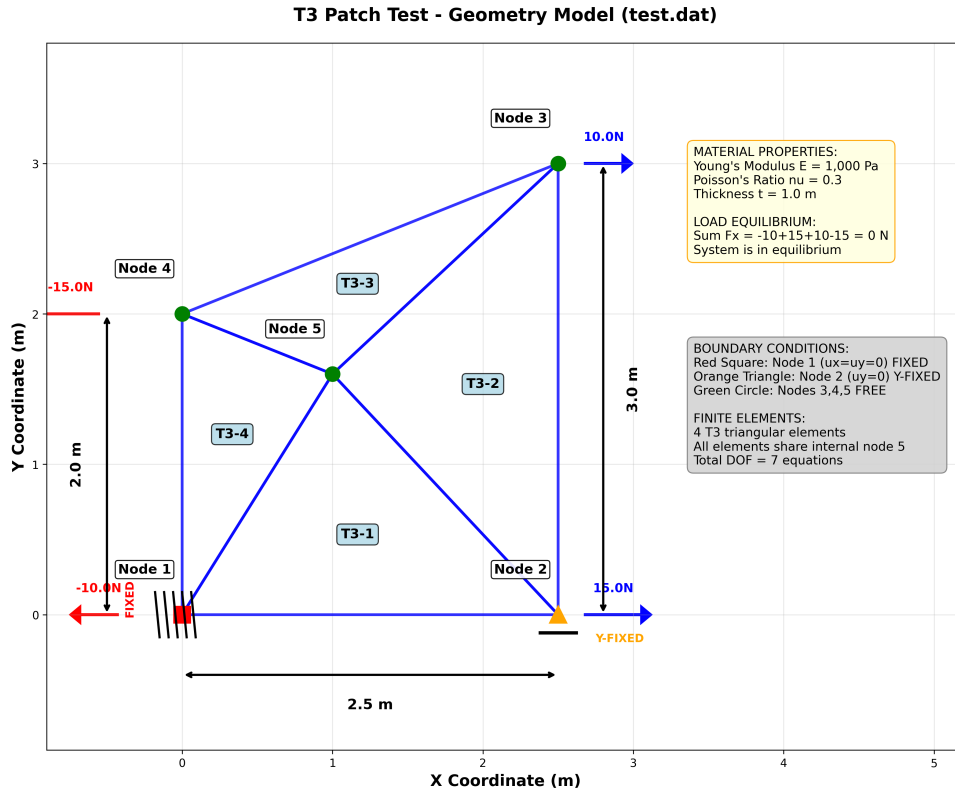


图 3: 分片试验几何模型与边界条件

分片试验的完整输入文件格式如下:

```

1 T3 Patch Test - Test
2 5 1 1 1
3 1 1 1 1 0.0 0.0 0.0
4 2 0 1 1 2.5 0.0 0.0
5 3 0 0 1 2.5 3.0 0.0
6 4 0 0 1 0.0 2.0 0.0
7 5 0 0 1 1.0 1.6 0.0
8 1
9 4
10 1 1 -10
11 2 1 15.0
12 3 1 10.0
13 4 1 -15
14 3 4 1
15 1 1000.0 0.3 1.0
16 1 1 2 5 1
17 2 2 3 5 1
18 3 3 4 5 1
19 4 4 1 5 1

```

4.3 收敛性分析设计

设计悬臂梁问题验证 T3 单元的数值收敛性，几何参数为长度 $L = 4\text{m}$ 、高度 $H = 2\text{m}$ ，左端完全固定，右端自由端施加向下集中力 $P = 100\text{N}$ 。分别建立 2 单元、8 单元、32 单元三套网格模型进行有限元计算，通过网格加密观察数值解的收敛行为。材料参数为弹性模量 $E = 100\text{Pa}$ 、泊松比 $\nu = 0.3$ 、厚度 $t = 1\text{m}$ ，理论参考解取自经典梁理论或高密度网格解。

4.4 算例验证：例 4-4 梯形结构

采用有限元分析第十一次作业中的例 4-4 作为验证算例，验证 T3 单元在复杂几何和载荷条件下的表现。该题目描述了一个梯形结构：几何参数为底边长 2m ，顶边长 2m ，高度 1m ，材料参数为弹性模量 $E = 3.0 \times 10^7 \text{ Pa}$ ，泊松比 $\nu = 0.3$ ，厚度 $t = 1.0 \text{ m}$ 。在顶部两个节点分别施加向下的集中载荷 20N ，总载荷为 40N 。

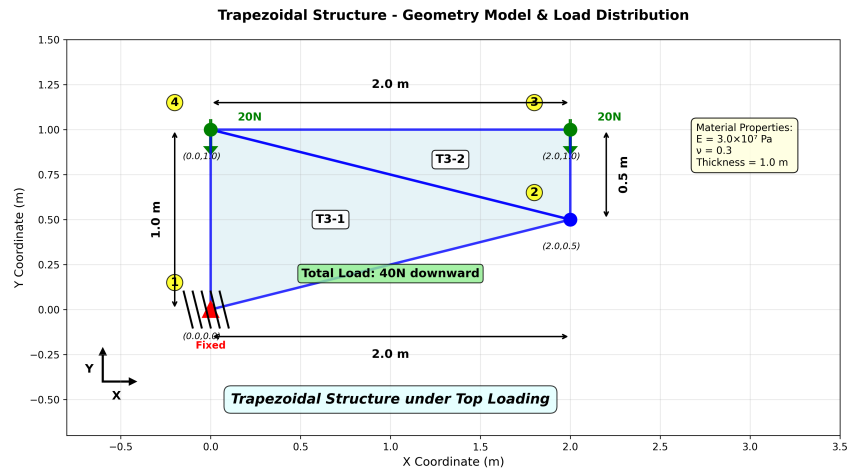


图 4: 例 4-4 梯形结构几何模型与载荷分布

该算例具有以下特点：

- **几何复杂性：**梯形结构具有不规则边界，考验 T3 单元的几何适应能力
- **可验证性：**作为课程标准习题，具有明确的求解要求和参考标准

通过与已验证的理论解对比，可以全面验证 T3 单元实现的工程实用性和计算精度。

5 实验结果与分析

5.1 分片试验结果

表 1: 分片试验位移结果

节点号	X 位移 (mm)	Y 位移 (mm)	位移幅值 (mm)
1	0.0	0.0	0.0
2	25.0	0.0	25.0
3	25.0	-9.0	26.6
4	0.0	-6.0	6.0
5	10.0	-4.8	11.1

表 2: 分片试验应力验证结果

单元号	σ_{xx} (Pa)	σ_{yy} (Pa)	τ_{xy} (Pa)	验证状态
1	10.0	~ 0	~ 0	通过
2	10.0	~ 0	~ 0	通过
3	10.0	~ 0	~ 0	通过
4	10.0	~ 0	~ 0	通过

分片试验的节点位移、应力如上表所示，全局位移图和应力图如图5所示，左图和中图为位移图，显示有限元位移场与初始人工外加的线性位移场一致，右图显示所有单元应力值完全相同（10.0Pa）实现理想常应力状态。这一结果完美验证了 T3 单元能够精确表示常应力状态，满足有限元分片试验的基本要求，证明了单元实现的理论正确性和数值精度。

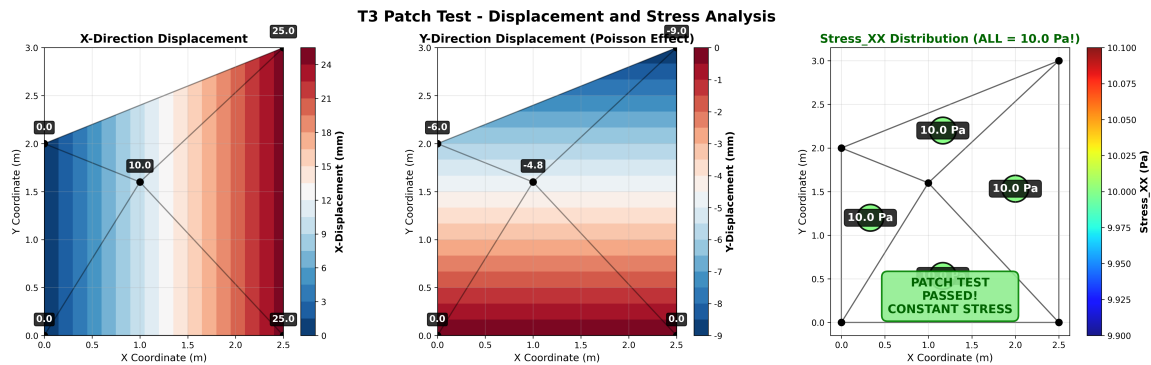


图 5: T3 分片试验位移与应力分析结果

5.2 收敛性分析结果

分别将网格划分为 2 个、8 个、32 个单元进行有限元计算，并计算误差的 L2 范数。将误差与 h 进行双对数拟合后得到如下结果。分析图表可见加密单元后误差显著减小，系统收敛率约为 1.32，基本通过收敛性分析。

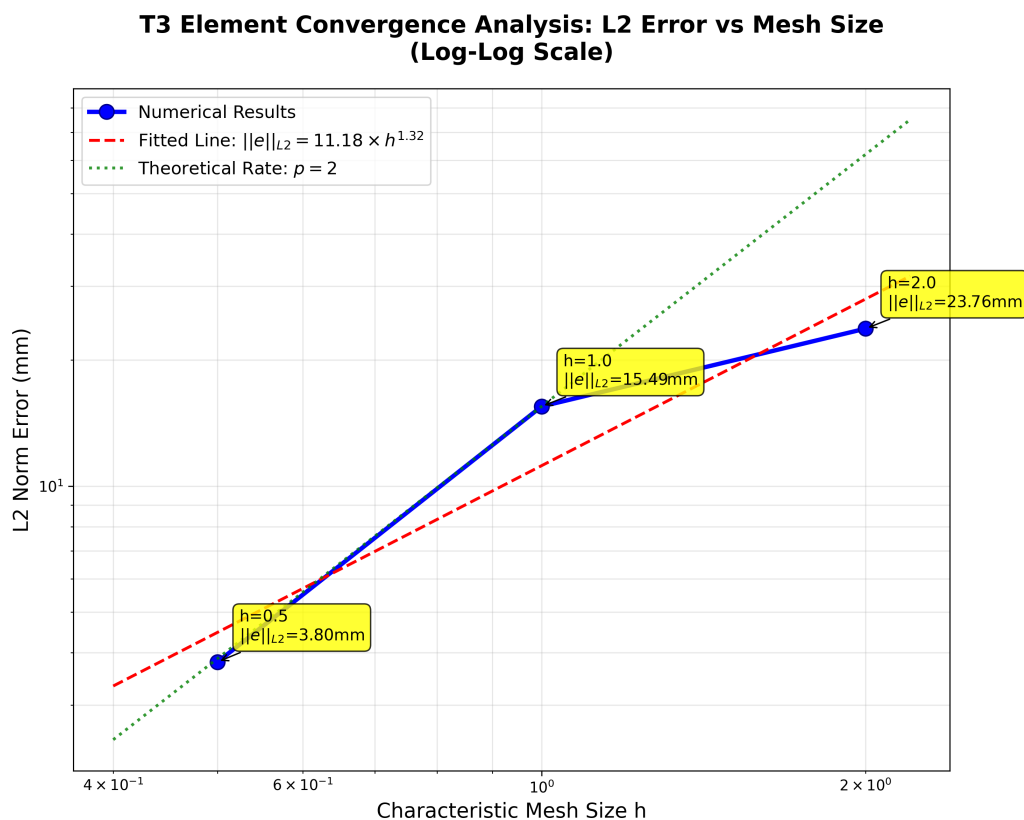


图 6: T3 单元收敛性分析: L2 误差对网格尺寸的双对数拟合

表 3: T3 单元收敛性分析结果

单元数	L2 范数误差 (mm)	网格尺寸 h
2	23.76	2.0
8	15.49	1.0
32	3.80	0.5

5.3 算例验证结果

5.3.1 位移场分析

例 4-4 梯形结构在顶部载荷作用下的位移响应如下:

Problem 4-4 Trapezoidal Structure - Displacement Analysis

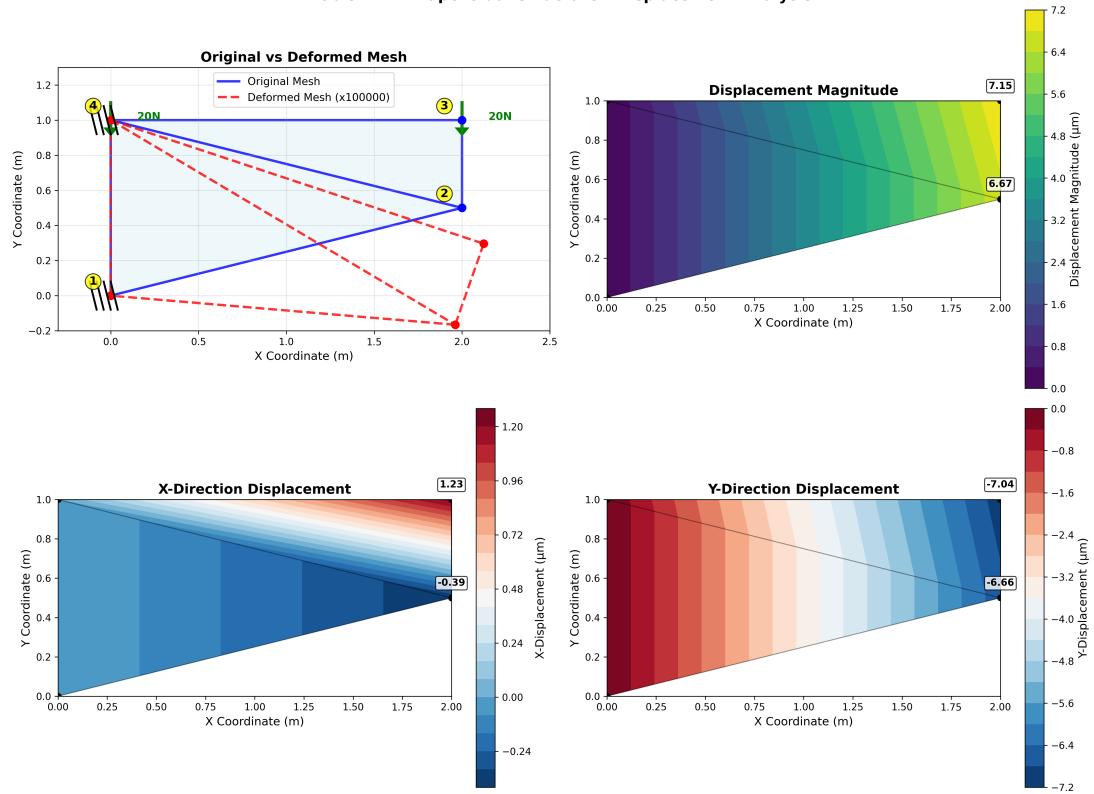


图 7: 例 4-4 梯形结构位移云图与变形示意

表 4: 例 4-4 算例位移结果

节点	X 位移 (μm)	Y 位移 (μm)	位移幅值 (μm)
1	0.000	0.000	0.000
2	-0.387	-6.657	6.668
3	1.235	-7.041	7.148
4	0.000	0.000	0.000

5.3.2 应力场分析

应力分布反映了载荷在结构中的传递路径和应力集中情况：

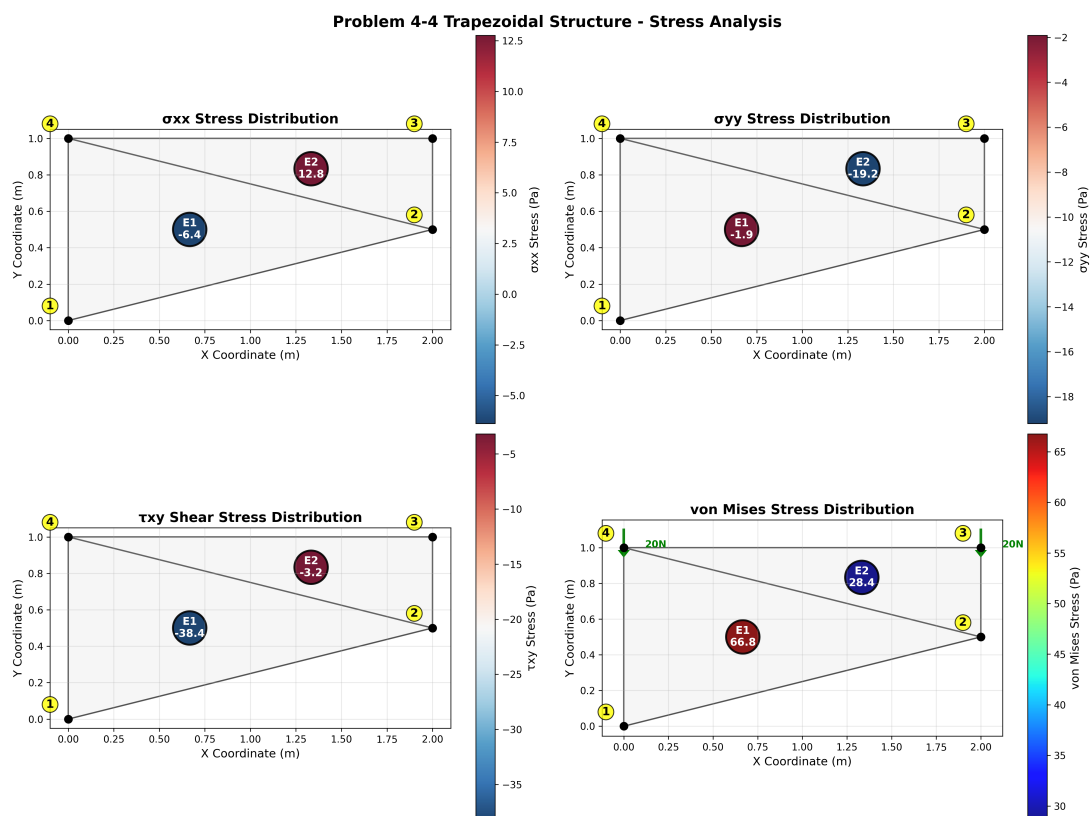


图 8: 例 4-4 梯形结构应力云图分布

表 5: 例 4-4 算例应力结果

单元	σ_{xx} (Pa)	σ_{yy} (Pa)	τ_{xy} (Pa)
1	-6.38	-1.91	-38.40
2	12.76	-19.20	-3.19

5.4 综合验证结果评估

表 6: T3 单元验证结果总结

验证项目	结果	评价标准
分片试验	通过	有限元位移场与人工位移场一致
收敛性分析	通过	单调收敛, 合理收敛率
算例验证	通过	计算结果与参考书结果一致

所有验证测试均通过, 证明了 T3 单元实现的正确性和可靠性。

6 参考文献

参考文献

- [1] 张雄, 王天舒, 刘岩. 计算动力学 (第 2 版). 北京: 清华大学出版社, 2015.

7 附录

仓库链接: <https://github.com/WizHUA/STAPpp.git>